

Inteligência Computacional — COC 361

2021/2

Trabalho Computacional

Gabriel de Oliveira da Fonseca, Gustavo Pires Machado

March 12, 2022

1 Introdução

- Descrição do problema.
- Pesquisa bibliográfica (opcional).

Para o presente trabalho, o conjunto de dados escolhido reúne dados coletados entre 1º de Julho de 2015 e 31 de Agosto de 2017 por uma rede hoteleira que incluem diversos atributos relacionados às reservas efetuadas por seus clientes. Utilizando-se das diversas metodologias de Inteligência Computacional discutidas ao longo do curso, o trabalho tem por objetivo a construção de um modelo de classificação para a previsão de reservas canceladas. A partir deste modelo, espera-se que a rede hoteleira possa se beneficiar de uma maior previsibilidade das reservas que serão efetivamente concretizadas, aumentando por fim sua margem de lucro.

2 Dataset e Tecnologia

- Descrição dos Dados.
- Apresentação da tecnologia.

O dataset escolhido possui 36 colunas, foi retirado da plataforma Kaggle [1], e conta com 119390 entradas. De forma geral, está razoavelmente organizado e possui um baixo número de dados faltantes (nulos). Os dados presentes compreendem diversos aspectos relacionados às reservas, como número de hóspedes em diferentes faixas etárias, dados pessoais dos clientes (como nome, e-mail e telefone), além de nuances mais promissoras, como indicadores de que um determinado cliente já cancelou reservas anteriormente.

Um outro importante aspecto a ser analisado diz respeito à qual classe pertence o conjunto de dados: balanceada ou desbalanceada. Isso pode ser visto através da predominância das classes alvo, que nesse estudo são as reservas canceladas ou não. Contando cada uma das classes, chegamos à proporção de 39% das reservas canceladas para 61% não canceladas. Dessa forma, conclui-se que o dataset é razoavelmente balanceado.

Além disso, conforme disposto na tabela abaixo, 20 de suas colunas são numéricas, e portanto 16 categóricas.

| # | Coluna | # entradas não-nulas | Tipo |
|----|--------------------------------|----------------------|---------|
| 0 | hotel | 119390 | object |
| 1 | is_canceled | 119390 | int64 |
| 2 | lead_time | 119390 | int64 |
| 3 | arrival_date_year | 119390 | int64 |
| 4 | arrival_date_month | 119390 | object |
| 5 | arrival_date_week_number | 119390 | int64 |
| 6 | arrival_date_day_of_month | 119390 | int64 |
| 7 | stays_in_weekend_nights | 119390 | int64 |
| 8 | stays_in_week_nights | 119390 | int64 |
| 9 | adults | 119390 | int64 |
| 10 | children | 119386 | float64 |
| 11 | babies | 119390 | int64 |
| 12 | meal | 119390 | object |
| 13 | country | 118902 | object |
| 14 | market_segment | 119390 | object |
| 15 | distribution_channel | 119390 | object |
| 16 | is_repeated_guest | 119390 | int64 |
| 17 | previous_cancellations | 119390 | int64 |
| 18 | previous_bookings_not_canceled | 119390 | int64 |
| 19 | reserved_room_type | 119390 | object |
| 20 | assigned_room_type | 119390 | object |
| 21 | booking_changes | 119390 | int64 |
| 22 | deposit_type | 119390 | object |
| 23 | agent | 103050 | float64 |
| 24 | company | 6797 | float64 |
| 25 | days_in_waiting_list | 119390 | int64 |
| 26 | customer_type | 119390 | object |
| 27 | adr | 119390 | float64 |
| 28 | required_car_parking_spaces | 119390 | int64 |
| 29 | total_of_special_requests | 119390 | int64 |
| 30 | reservation_status | 119390 | object |
| 31 | reservation_status_date | 119390 | object |
| 32 | name | 119390 | object |
| 33 | email | 119390 | object |
| 34 | phone-number | 119390 | object |
| 35 | credit_card | 119390 | object |

Table 1: Atributos do dataset.

Já em relação às tecnologias utilizadas para a implementação da solução deste trabalho, foram adotadas essencialmente a plataforma Google Collaboratory [2], onde o trabalho foi desenvolvido no formato de um notebook Jupyter, e diversas bibliotecas em Python. Dentre as bibliotecas utilizadas, vale citar a Pandas, que implementa abstrações para facilitar o manuseio de data frames, bem como Scikit-Learn, que disponibiliza uma vasta gama de ferramentas para

visualização de dados e treinamento de modelos. Especificamente, também foi utilizada a API Keras do TensorFlow, que foi utilizada no treinamento dos modelos de redes neurais.

3 Metodologia

- Apresentação da solução do problema proposto.
- Descrição teórica (matemática) dos modelos utilizados.

A solução construída para o problema consistiu na implementação de um ferramental de modelos de classificação baseados em diversos algoritmos apresentados ao longo da disciplina de Inteligência Computacional. Como tarefa preliminar, conforme apresentado posteriormente na seção 4, foi realizada também uma série de ajustes de pré-processamento no dataset a fim de otimizar os modelos treinados. Nas subseções a seguir, são apresentados detalhadamente os modelos adotados para construção da solução.

3.1 Regressão Logística

A Regressão Logística é um modelo de classificação binária, cuja função discriminante é definida pela probabilidade *a posteriori* como [3]:

$$\begin{aligned} P(v(t)) = 1 | \mathbf{x}(t), \boldsymbol{\theta} &= g(\mathbf{x}(t), \boldsymbol{\theta}) \\ P(v(t)) = 0 | \mathbf{x}(t), \boldsymbol{\theta} &= 1 - g(\mathbf{x}(t), \boldsymbol{\theta}) \end{aligned} \quad (3.1)$$

Tal função de probabilidade em representar os valores observados é maximizada pelo modelo através da seguinte função objetivo:

$$l(\boldsymbol{\theta}) = - \sum_{t=1}^N v(t) \log(\hat{v}(t)) + (1 - v(t)) \log(1 - \hat{v}(t)) \quad (3.2)$$

Onde,

$$\hat{v}(t) = \frac{1}{1 + e^{-\boldsymbol{\theta}^T \mathbf{x}}} \quad (3.3)$$

Pela equação (3.2), observa-se que quando $v(t) = 0$, apenas o segundo termo do somatório prevalece e o custo tende a infinito ($\log(0)$) no caso em que $\hat{v}(t) = 1$. Situação similar ocorre quando $v(t) = 1$ e $\hat{v}(t) = 0$. Sabendo que esta função objetivo determina o erro entre a classe predita e a classe observada, pode-se minimizá-la utilizando métodos de PNL como o do gradiente. Dessa forma, construímos uma superfície de separação entre as classes, discriminada por uma curva sigmóide, como dado pela equação (3.3).

3.2 Classificação Bayesiana

O teorema de Bayes relaciona o conhecimento prévio do problema na forma da seguinte equação:

$$P(C_i | \mathbf{x}) = \frac{p(\mathbf{x} | C_i) P(C_i)}{p(\mathbf{x})} \quad (3.4)$$

Onde $P(C_i | \mathbf{x})$ é a probabilidade de observar a classe C_i dado que os valores das variáveis \mathbf{x} são conhecidos, chamada **probabilidade a posteriori**; $p(\mathbf{x} | C_i)$ representa a distribuição

de probabilidades das variáveis x quando a classe observada é C_i , chamada de distribuição de **probabilidade condicional**; e $P(C_i)$ é a probabilidade de ocorrência da classe C_i na ausência de qualquer observação, chamada **probabilidade a priori**. Por fim, o denominador é apenas a probabilidade de observar valores das variáveis x , e funciona como um fator de padronização [3].

O modelo de Classificação Bayesiana faz uso do teorema de Bayes para decidir qual classe tem a maior probabilidade condicional, e portanto será escolhida. Para isso, as probabilidades condicionais são calculadas diretamente pela definição quando se tratando de atributos nominais, e através da PDF do atributo aplicada em x para variáveis numéricas. Por fim, a probabilidade condicional geral para cada classe será dada pelo produtório das probabilidades condicionais de cada atributo.

3.3 Árvores de Decisão

Árvores de Decisão são modelos de aprendizado supervisionado que podem ser utilizados tanto para classificação quanto para regressão. De forma ampla, buscam definir um modelo de predição através do aprendizado de regras inferidas pelos atributos do dataset. São chamadas de árvore pois o modelo é construído como um diagrama de decisão, cuja representação é similar a uma árvore, conforme ilustrado abaixo:

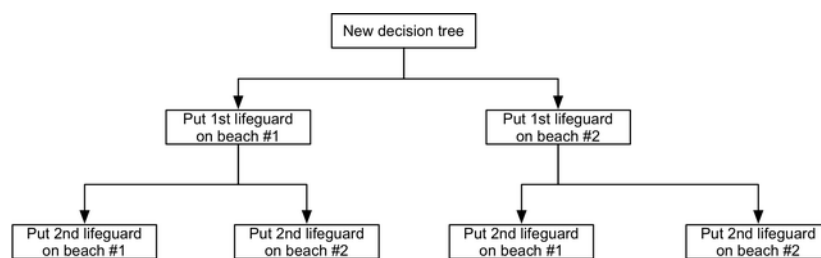


Figure 1: Exemplo de Árvore de Decisão [4]

A predição de uma classe é baseada essencialmente em percorrer o diagrama utilizando os valores dos atributos conhecidos como entrada para as regras inferidas pelo modelo. A acurácia do modelo está, portanto, diretamente correlacionada à inferência das regras e também ao tamanho que a árvore pode adotar, o que permite uma maior especificidade das regras inferidas.

3.4 Random Forest

Modelos do tipo Random Forest realizam a agregação de diversas Árvores de Decisão (DT, do inglês *decision tree*), já explicadas na subseção 3.3, para composição de classificadores ou regressores. Para o problema específico de classificação, a saída de uma Random Forest é a classe selecionada pela maioria das DTs. Já para regressões, são retornadas as médias dos valores retornados por cada DT [5].

O objetivo central na construção do modelo é diminuir a variância entre as saídas das DTs e ao mesmo tempo evitar *overfitting* - que ocorre quando o modelo é específico demais para o conjunto de treinamento e apresenta baixa acurácia para conjuntos de teste. Para isso, o número de DTs utilizadas é configurável através de um hiperparâmetro, o que permite realizar um ajuste que propicie a menor variância possível para análise.

3.5 Gradient Boosting

O método de Gradient Boosting preconiza a construção de um modelo preditivo forte a partir de modelos intermediários fracos - ideia geral dos algoritmos de Boosting-, normalmente DTs. É similar, portanto, ao de Random Forest no que tange a utilização de DTs como elementos de construção do modelo preditivo final. Diferem, entretanto, na forma como os diferentes modelos intermediários (DTs) são agregados, já que no Gradient Boosting eles são sequencialmente adicionados, enquanto em Random Forest são utilizados em paralelo.

O algoritmo de Gradient Boosting consiste em realizar o treinamento de um modelo fraco inicial e aplicar à ele próprio uma função de correção a fim de melhorar a acurácia de um novo modelo a ser criado para o mesmo conjunto de dados. Nesse caso, como o nome do método sugere, a função de correção é derivada do gradiente da função em cada etapa da interação, conforme a seguinte equação:

$$F_{m+1}(x) = F_m(x) + h_m(x) \quad (3.5)$$

Onde $h_m(x)$ é a função de correção, que será o gradiente da função de avaliação utilizada para o problema. Além disso, o método possui 3 hiperparâmetros: tamanho da árvore, taxa de aprendizado e subamostra. Os dois últimos servem, respectivamente, para controlar a proporção em que a função de correção é adicionada e o particionamento da amostra original durante a construção do modelo.

3.6 SVM

O método de Support Vector Machine (SVM) consiste na utilização das chamadas funções de núcleo para manipular o espaço de características de um dado problema de forma indireta a fim de obter uma medida de similaridade entre diferentes entradas do conjunto de dados. A partir da aplicação da função de núcleo, é construída então uma matriz de núcleo, que contém uma representação do conjunto inicial com suas respectivas similaridades em relação a todos os outros registros. Essa matriz é, posteriormente, utilizada para construção de um hiperplano que separa as diferentes classes alvo.

A fim de minimizar o erro de classificação produzido pelo método, o conceito de margem de separação é adotado no SVM, e consiste em definir um limiar definido a partir do hiperplano para o qual o modelo é capaz de realizar classificações corretas. Com isso, ao maximizarmos a margem de separação, chegamos ao modelo com a maior capacidade de classificar corretamente os registros.

O modelo disponibiliza 2 hiperparâmetros, C e γ . O primeiro, C , é um parâmetro de regularização da SVM, e define a margem utilizada pelo modelo para determinar o quanto de erro é aceitável. Isso permite controlar a troca entre a fronteira de decisão e o termo de classificação errônea. Quando C estiver alto, o modelo classificará um número maior de pontos, o que também pode ocasionar perda de acurácia e overfitting. Já o hiperparâmetro γ define o quanto a distância entre os pontos influencia o cálculo dos hiperplanos. Quanto maior for γ , mais influência possuem pontos próximos e maior a probabilidade de overfitting. Por outro lado, quanto menor for γ , maior a influência de pontos mais distantes e mais generalista o modelo.

3.7 Redes Neurais

4 Resultados

4.1 Visualização e Caracterização dos dados

Conforme apresentado na matriz de variáveis nulas (figura 2), algumas colunas como *agent* e *company* possuem entradas com valores nulos, cuja manutenção afetaria as análises efetuadas. Como a variável que define a empresa associada à reserva é nula em 94% das entradas, optou-se por removê-la. Aproveitou-se também para remover variáveis intuitivamente irrelevantes para o modelo, como nome, e-mail e telefone. Após isso, foi possível remover todas as entradas contendo valores nulos, já que representavam uma pequena parte do dataset utilizado ($\approx 10\%$).

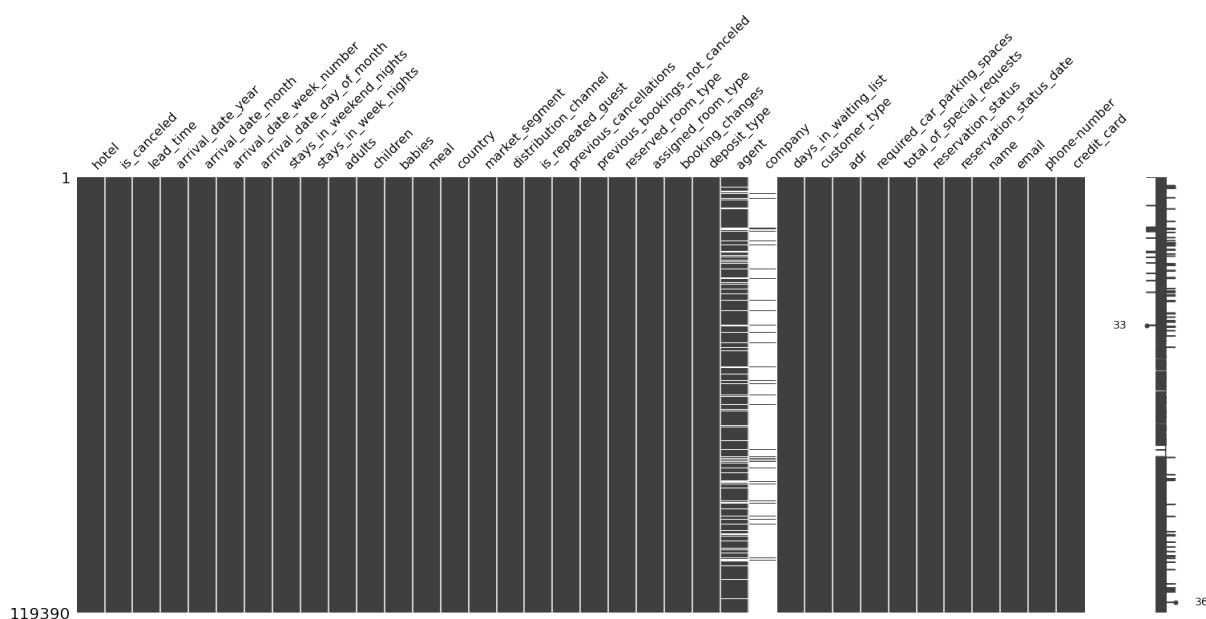


Figure 2: Matriz de variáveis nulas.

A figura 3 apresenta a matriz de correlação dos atributos, pela qual observa-se a ausência de fortes correlações, exceto entre as variáveis *arrival_date_week_number* e *arrival_date_year*.

Como uma etapa de engenharia de atributos, optou-se por tratar algumas informações pouco relevantes para o modelo em sua forma original. Para isso, um novo atributo de localização (*guest_location*) foi criado para substituir o atributo de país, mapeando Portugal em "Local" e outros países em "Internacional", já que o número de reservas provenientes de Portugal era inicialmente muito maior que as de outros países individualmente. Além disso, as variáveis *children* e *babies* foram somadas em uma nova variável *kids*. Por final, dois novos atributos *total_guests* e *total_stays* foram criados a fim de representar, respectivamente, as somas de hóspedes (adultos, crianças e bebês) e diárias (diárias em finais de semana e dias de semana).

Após as modificações citadas acima, realizou-se o procedimento de conversão de variáveis categóricas para variáveis indicadoras. Por exemplo, a variável *meal* foi dividida em 4 novas variáveis: *meal_FB*, *meal_HB*, *meal_SC* e *meal_Undefined*, que representam as diferentes possibilidades de refeições a serem escolhidas pelos clientes.

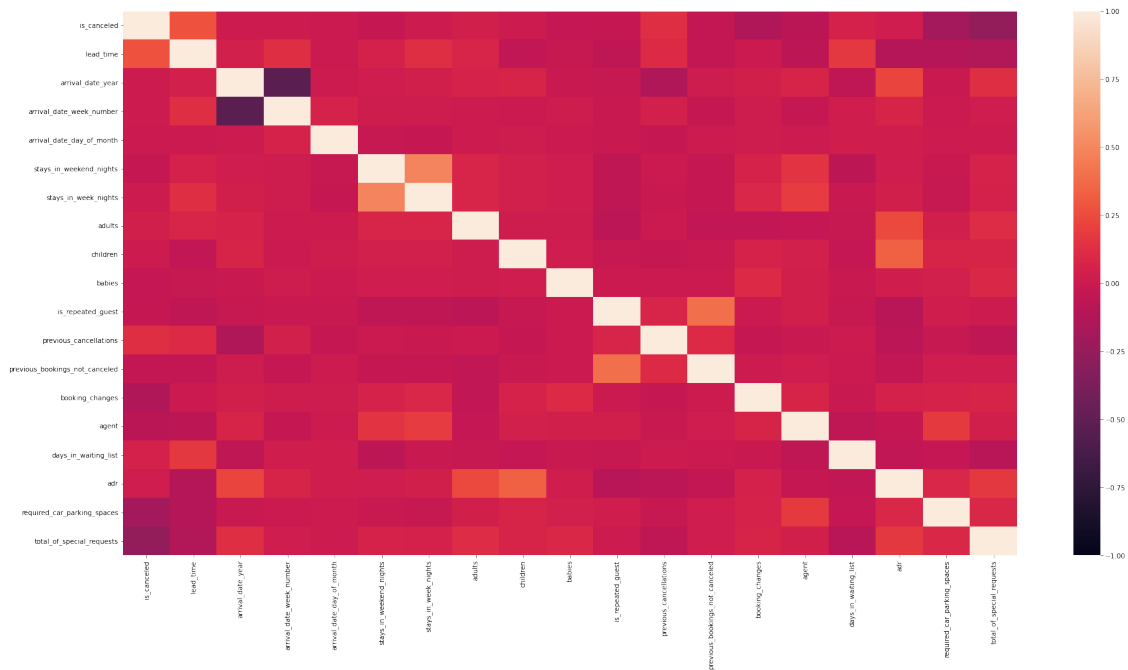


Figure 3: Matriz de correlação de atributos.

Logo após a etapa de tratamento das variáveis, como tarefa de pré-processamento e com o objetivo de ajustar as escalas das diferentes variáveis, padronizou-se o dataset. Para isso, foi utilizada a funcionalidade de `StandardScaler` do *scikit learn* [6]. Sendo assim, prosseguiu-se para a separação dos subconjuntos de treinamento e testes e posterior treinamento dos modelos, cujos resultados são apresentados nas subseções a seguir.

Antes de apresentar os resultados dos treinamentos propriamente ditos, é importante ressaltar o procedimento de validação adotado. Essencialmente, foi utilizada a técnica de validação cruzada, que consiste na divisão do conjunto de treinamento em n subconjuntos, os quais são utilizados para treinar os modelos n vezes, validando o modelo para diferentes entradas e gerando estatísticas que permitem avaliar seu comportamento de forma mais aprofundada. Tal técnica é especialmente relevante para os modelos que disponibilizam hiperparâmetros, pois permite avaliar diferentes conjuntos de hiperparâmetros e decidir o que propicia o melhor modelo. Para o caso de modelos com hiperparâmetros, utilizou-se a função de `GridSearchCV` do *scikit learn* [7], que possibilita a definição de uma matriz de hiperparâmetros a serem estudados. Para todas as validações cruzadas foi utilizado o mesmo split e a mesma semente de randomização.

- Visualização e Caracterização dos dados (distribuições, correlações, etc.)
- Descrição do procedimento de validação (validação cruzada)
- Resultados dos modelos lineares:
 1. Regressão Linear / Regressão Logística
 2. Classificação Bayesiana (problemas de classificação)
- Resultados dos modelos não lineares
 1. Árvores de decisão

2. Random Forest (testar pelo menos 2 opções de hiperparâmetros)
 3. Gradient Boosting (testar pelo menos 2 opções de hiperparâmetros)
 4. SVM (testar pelo menos 2 opções de hiperparâmetros)
 5. Redes Neurais (testar pelo menos 3 topologias/hiperparâmetros)
- Discussão e comparação dos resultados

4.2 Métricas de comparação

Diversas métricas foram calculadas para comparar os modelos, as quais estão descritas abaixo, onde VP , VN , FP e FN representam, respectivamente, os verdadeiros positivos, verdadeiros negativos, falso positivos e falso negativos.

- **Acurácia:** dentre todas as classificações, quantas o modelo classificou corretamente. É calculada pela seguinte equação:

$$A = \frac{VP + VN}{VP + VN + FP + FN} \quad (4.1)$$

- **Precisão:** dentre todas as classificações positivas que o modelo fez, quantas são de fato positivas. É calculada pela seguinte equação:

$$P = \frac{VP}{VP + FP} \quad (4.2)$$

- **Revocação:** dentre todos os registros que são de fato positivos, quantos o modelo classificou como positivo. Dada pela seguinte equação:

$$R = \frac{VP}{VP + FN} \quad (4.3)$$

- **F1-score:** média harmônica entre precisão e revocação. Dado pela seguinte equação:

$$F1 = \frac{2 \cdot P \cdot R}{P + R} \quad (4.4)$$

Dentre as estatísticas apresentadas acima, adotou-se o *F1-score* como métrica de comparação entre os diferentes modelos. Isso, pois ele indica a capacidade do modelo apresentar uma boa sensibilidade sem prejudicar a precisão e vice-versa. À princípio, havia-se adotado a acurácia como métrica de comparação, mas acabou-se rejeitando-a por conta do pequeno desbalanceamento apresentado pelo dataset, o que faz com que a acurácia seja tendenciosa para a classe dominante.

4.3 Modelos lineares

A tabela 2 apresenta os resultados para os modelos lineares de Regressão Logística e Classificação Bayesiana. Como observa-se, o segundo teve uma performance muito baixa, com *F1-score* de apenas 0.484. Isso é esperado dada a característica da Classificação Bayesiana de considerar apenas as probabilidades condicionais individuais de cada atributo e a variável alvo,

| | Regressão Logística | Classificação Bayesiana |
|-----------------|----------------------------|--------------------------------|
| Precisão | 0.794 ± 0.005 | 0.700 ± 0.005 |
| F1-score | 0.788 ± 0.005 | 0.484 ± 0.005 |
| Acurácia | 0.793 ± 0.005 | 0.526 ± 0.005 |
| Recall | 0.793 ± 0.005 | 0.526 ± 0.005 |

Table 2: Resultados para modelos lineares.

ignorando portanto as correlações entre os atributos. A regressão logística também apresentou performance elevada, com *F1-score* de 0.788, indicando que a superfície de decisão do problema não é bem aproximada por um sistema linear.

Como os modelos lineares estudados não disponibilizam hiperparâmetros, não há mais discussões a serem feitas sobre eles.

4.4 Modelos não lineares

| | Árvore de decisão | Random Forest | Gradient Boosting |
|-----------------|--------------------------|----------------------|--------------------------|
| Precisão | 0.779 ± 0.009 | 0.993 ± 0.005 | 0.765 ± 0.005 |
| F1-score | 0.764 ± 0.013 | 0.995 ± 0.005 | 0.802 ± 0.005 |
| Acurácia | 0.772 ± 0.008 | 0.996 ± 0.005 | 0.853 ± 0.005 |
| Recall | 0.772 ± 0.008 | 0.996 ± 0.005 | 0.844 ± 0.005 |

| | SVM | Redes Neurais |
|-----------------|-------------------|----------------------|
| Precisão | 0.824 ± 0.005 | 0.828 ± 0.005 |
| F1-score | 0.850 ± 0.005 | 0.849 ± 0.005 |
| Acurácia | 0.886 ± 0.005 | 0.885 ± 0.005 |
| Recall | 0.877 ± 0.005 | 0.885 ± 0.005 |

Table 3: Resultados para modelos não lineares.

A tabela 3 apresenta os resultados para os modelos não lineares estudados. Observa-se que a performance demonstrada é consideravelmente superior que as apresentadas pelos modelos lineares, confirmando a suspeita do final da subseção anterior de que o problema é melhor aproximado por uma superfície de decisão não linear. O único modelo cujo treinamento não envolveu estudo de hiperparâmetros foi o de Árvore de Decisão. Para os outros, os resultados e estudo de hiperparâmetros será feito a seguir.

Para o treinamento da Random Forest, variou-se o número de estimadores utilizados para sua construção, que é basicamente o número de árvores de decisão combinadas. Os dois valores utilizados foram de 10 e 100 estimadores, que apresentaram respectivamente, *F1-score* médio na validação cruzada de 0.871 ± 0.003 e 0.881 ± 0.002 . Como era esperado, o aumento do número de estimadores aumenta a performance do modelo, mas prejudica o tempo de treinamento. Com isso, o modelo utilizado para a comparação foi o com 100 estimadores.

Já para o Gradient Boosting, o estudo dos hiperparâmetros envolveu uma maior variedade, que são apresentados na tabela 4, disponível abaixo.

Observa-se, portanto, que o melhor conjunto de hiperparâmetros é dado por número de estimadores = 100, taxa de aprendizado = 1 e Subamostras = 1. Isso faz sentido, pois um

| Número de estimadores | Taxa de aprendizado | Subamostras | F1-score médio |
|-----------------------|---------------------|-------------|-------------------|
| 10 | 0.1 | 0.5 | 0.713 ± 0.008 |
| 10 | 0.1 | 1.0 | 0.713 ± 0.011 |
| 10 | 1 | 0.5 | 0.828 ± 0.003 |
| 10 | 1 | 1.0 | 0.830 ± 0.003 |
| 100 | 0.1 | 0.5 | 0.840 ± 0.003 |
| 100 | 0.1 | 1.0 | 0.839 ± 0.002 |
| 100 | 1 | 0.5 | 0.850 ± 0.004 |
| 100 | 1 | 1.0 | 0.857 ± 0.005 |

Table 4: Validação cruzada de hiperparâmetros para Gradient Boosting.

maior número de estimadores tende a aumentar a acurácia do modelo, e a taxa de aprendizado funciona como uma penalidade para cada árvore de decisão que compõe o modelo.

Para o modelo de SVM, não foi possível realizar um estudo muito aprofundado dos hiperparâmetros, pois o tempo de treinamento de cada modelo foi muito elevado para o conjunto de treinamento utilizado, que é consideravelmente grande. Portanto, variou-se apenas o hiperparâmetro C , para o qual adotou-se o valor de 1 e 100, obtendo-se respectivamente $F1$ -score médio de 0.841 ± 0.001 e 0.850 ± 0.002 . Logo, o aumento de C levou a uma melhor acurácia, o que pode se justificar pelo fato de que este hiperparâmetro funciona como regularizador, definindo a margem utilizada pelo modelo para determinar o quanto de erro é aceitável. Logo, quanto maior C , mais pontos são classificados. Importante se atentar que um aumento indiscriminado de C pode levar a uma eventual perda de acurácia com ocorrência de overfitting.

Por fim, para o modelo de Redes Neurais foram testadas diferentes topologias, cujas descrições e resultados de $F1$ -score médio são apresentados na tabela 5

| Número de estimadores | Taxa de aprendizado |
|-----------------------------------|---------------------|
| Largura 12, 1 camada escondida | 0.1 |
| Largura 133, 2 camadas escondidas | 0.011 |
| Largura 133, 5 camadas escondidas | 0.828 ± 0.003 |

Table 5: Resultados para modelos não lineares.

5 Conclusões

- Discussão sobre as características do problema
- Discussão dos resultados obtidos em função das características do problema
- Recomendação sobre o melhor modelo para a aplicação
- Trabalhos futuros (opcional)

References

- [1] <https://www.kaggle.com/mojtaba142/hotel-booking>. Acessado em 20/02/2022.
- [2] <https://colab.research.google.com/>.

- [3] Evsukoff, A. Ensinando Máquinas, 2017.
- [4] M. Wagner, H. Principles of Operations Research, 1975.
- [5] https://en.wikipedia.org/wiki/Random_forest.
- [6] <https://scikit-learn.org/stable/modules/generated/sklearn.preprocessing.StandardScaler.html>.
- [7] https://scikit-learn.org/stable/modules/generated/sklearn.model_selection.GridSearchCV.html.